

## 致密斑细胞 COX-2 的表达及 AP-1、NF $\kappa$ B 信号通路

刘冬妍，李学旺，李航，李雪梅，叶文玲

中国医学科学院 中国协和医科大学 北京协和医院肾内科，北京 100730

通信作者：李学旺 电子邮件：leexuewang@hotmail.com

**摘要：**目的 评估低盐 (LS) 培养对小鼠致密斑 (MMDD1) 细胞环氧化酶 - 2 (COX-2) 表达及核因子- $\kappa$ B (NF- $\kappa$ B) 和活化蛋白-1 (AP-1) 活性的影响。方法 经脂质体转染含 NF- $\kappa$ B 或 AP-1 的报告质粒，采用瞬时表达方法检测正常盐 (NS) 与 LS 培养对 NF- $\kappa$ B 和 AP-1 转录活性的影响。采用 RT-PCR 检测 MMDD1 细胞 COX-2 表达的变化，Western blot 方法检测细胞内 p-p38 MAPK、p-p44/42、c-Jun、c-Fos 和 COX-2 蛋白的表达。结果 LS 培养促进了 MMDD1 细胞 COX-2 mRNA 和蛋白表达 ( $P < 0.01$ )。LS 培养后，p38 和 p44/42 的磷酸化程度显著上调 ( $P < 0.01$ )，180 min 后达到高峰。p38 抑制剂 SB-203580、p44/42 抑制剂 PD-98059 可降低 LS 诱导的 COX-2 表达 ( $P < 0.01$ )。LS 培养促进了 c-Jun、c-Fos 蛋白表达 ( $P < 0.01$ )，激活了 AP-1 和 NF- $\kappa$ B 的转录活性 ( $P < 0.01$ )。25  $\mu$ mol/L NF- $\kappa$ B 抑制剂 PDTC 和 20  $\mu$ mol/L AP-1 抑制剂 curcumin 下调了 LS 诱导的 NF- $\kappa$ B、AP-1 活性 ( $P < 0.01$ )。25  $\mu$ mol/L PDTC、20  $\mu$ mol/L curcumin 降低了 LS 诱导的 COX-2 mRNA 和蛋白表达 ( $P < 0.01$ )。结论 LS 培养可促进 MMDD1 细胞 COX-2 的表达，其作用可能与促进 p38MAPK、p44/42 激酶的磷酸化，增加 NF- $\kappa$ B 和 AP-1 的活性有关。

**关键词：**环氧化酶 - 2；核因子- $\kappa$ B；活化蛋白-1；质粒；丝裂素激活蛋白激酶

中图分类号：R334+.1 文献标识码：A 文章编号：1000-503X(2007)01-0078-05

## Expression of Cyclooxygenase-2 in a Mouse Macula Densa Cell Lines and Signal Transduction of NF- $\kappa$ B and AP-1

LIU Dong-yan, LI Xue-wang, LI Hang, LI Xue-mei, YE Weng-ling

Department of Nephrology, PUMC Hospital, CAMS and PUMC, Beijing 100730, China

Corresponding author: LI Xue-wang E-mail: leexuewang@hotmail.com

**ABSTRACT: Objective** To evaluate the effect of low salt (LS) on the expression of cyclooxygenase-2 (COX-2) and the activity of nuclear factor kappa B (NF- $\kappa$ B) and activator protein-1 (AP-1) in the mouse macula densa derived (MMDD1) cell line. **Methods** MMDD1 cells were transfected with luciferase reporter plasmid containing AP-1 or NF- $\kappa$ B. Luciferase reporter assay was used to evaluate the effect of normal salt (NS) and low salt (LS) on the activities of NF- $\kappa$ B and AP-1. The changes of COX-2 expression were examined by RT-PCR. The expression of p-p38 MAPK, p-p44/42, c-Jun, c-Fos, and COX-2 in MMDD1 cells were analyzed by Western blot. **Results** The expressions of COX-2 mRNA and protein in MMDD1 cells were significantly increased by LS ( $P < 0.01$ ). Phosphorylated p38 and p44/42 MAPkinase were significantly increased by treatment at 180 min ( $P < 0.01$ ). The up-regulated COX-2 protein expression with LS were significantly reduced with SB 203580 (p38 inhibitors) and PD-98059 (p44/42 inhibitors) ( $P < 0.01$ ). The expressions of c-Jun and c-Fos were increased by LS. The luciferase activities of AP-1 and NF- $\kappa$ B were stimulated

in LS ( $P < 0.01$ ) , the up-regulated luciferase activities were attenuated by PDTC at 25  $\mu\text{mol/L}$  (NF- $\kappa$ B inhibitor) and curcumin at 20  $\mu\text{mol/L}$  (AP-1 inhibitor) ( $P < 0.01$ ) . LS altered COX-2 mRNA abundance and protein expression were decreased in treatment with PDTC at 25  $\mu\text{mol/L}$ , curcumin at 20  $\mu\text{mol/L}$  ( $P < 0.01$ ) .

**Conclusion** LS can induce the expression of COX-2 in MMDD1 cells, which may be involved in the activation of p38 MAPkinase, p44/42 kinase, AP-1, and NF- $\kappa$ B pathways.

**Key words:** cyclooxygenase-2; nuclear factor kappa B; activator protein-1; plasmid; mitogen-activated protein kinase

*Acta Acad Med Sin*, 2007, 29(1):78–82

致密斑 (macula densa, MD) 细胞毗邻于具有分泌肾素功能的球旁器细胞和球外系膜细胞，在肾脏调节水盐代谢过程中发挥重要作用。在各种高肾素动物模型中，如给动物低盐饮食、血管紧张素转换酶抑制剂 (angiotension converting enzyme inhibitor, ACEI)、袢利尿剂及实验性肾血管性高血压模型，MD 细胞/近皮质的髓袢升枝粗段 (cortical thick ascending limb, cTALH) 细胞环氧化酶-2 (cyclooxygenase-2, COX-2) mRNA 和蛋白水平都显著增加<sup>[1]</sup>。研究显示，丝裂素激活蛋白激酶 (mitogen-activated protein kinase, MAPK) 和核因子- $\kappa$ B (nuclear factor kappa B, NF- $\kappa$ B) 可介导脱水诱导的肾脏髓质细胞 COX-2 表达<sup>[2,3]</sup>。本研究探讨小鼠致密斑细胞株 (macula densa, MMDD1) 细胞 COX-2 表达的可能细胞分子机制。

## 材料和方法

**细胞株及主要试剂** MMDD1 细胞由美国尤他州立大学 Yang Tianxing 教授惠赠，DMEM/F12、胎牛血清购自美国 GIBCO 公司，抗 COX-2 抗体购自美国 Cayman 公司，抗磷酸化 p38、抗磷酸化 Erk、抗 c-Fos、抗 c-Jun 和抗 Actin 抗体购自美国 Santa Cruz 公司。正常盐培养液为 DMEM/F12 和等渗盐水按 1:1 混合；低盐培养液为 DMEM/F12 和 0.3 mol/L 甘露醇按 1:1 配制。SB-203580 (p38 抑制剂) PD-98059 (p44/42 抑制剂) 购自美国 Sigma 公司。Opti-MEN I 培养液购自美国 GIBCO 公司，Lipofectamine 2000 购自美国 Invitrogen 公司。质粒 pAP1-Luc 载体、pNF $\kappa$ B-Luc 载体和 pRL-SV40 载体由中国医学科学院基础医学研究所生化教研室王爱冰、李红良博士馈赠。

**质粒的扩增和鉴定** 按常规方法将宿主菌制成感受态状态的细胞悬液，在 100  $\mu\text{l}$  感受态细胞中加入 10  $\mu\text{l}$  连接反应液，先后经冰浴、热休克等处理

后，涂布于预先涂有氨苄青霉素的 LB 平板上，37℃ 培养 10 ~ 12 h，挑选单菌落，于培养基中 37℃ 振荡过夜，离心后弃上清，依次加入细胞悬浮液和细胞裂解液，按试剂盒说明收获质粒。取适量 CsCl 抽提后 DNA 产物于 1% 琼脂糖凝胶上电泳分析，并测序。

**细胞的脂质体转染** 按照试剂盒说明，将含有报告质粒 (AP-1 质粒或 NF- $\kappa$ B 质粒) 和内对照质粒的无血清与适量转染试剂混匀。室温静置 15 min 后，转移至生长 MMDD1 的培养基中，并设 3 孔未经转染的 MMDD1 作为酶活性的基础对照。37℃、CO<sub>2</sub> 孵箱内孵育 6 h。弃去培养基，换用正常盐 (normal salt, NS)、低盐 (low salt, LS) 培养液继续培养 16 h。弃去培养基，用 PBS 冲洗 2 次，加入 100  $\mu\text{l}$  裂解缓冲液 (passive lysis buffer, PLB) 裂解细胞，测定相对荧光素酶活性。

**RT-PCR** 将细胞分为 NS、LS、LS + SB-203580 (10  $\mu\text{mol/L}$ )、LS + SB-203580 (20  $\mu\text{mol/L}$ )、LS + PD-98059 (10  $\mu\text{mol/L}$ )、LS + PD-98059 (20  $\mu\text{mol/L}$ ) 和 LS + PDTC (NF- $\kappa$ B 特异性抑制剂) (25  $\mu\text{mol/L}$ ) 共 8 组，16 h 后采用 Trizol 法抽提细胞总 RNA。COX-2 引物序列：上游 5'-ACACTCTATCACTGGCAT-CC-3'；下游 5'-GAAGGGACACCCTTTACAT-3'。GAPDH 引物序列：上游 5'-AAGGGTGGAGCAAACGG-3'；下游 5'-GGGGTAGGAACACGGAA-3'。扩增条件：95℃ 预变性 5 min, 94℃ 变性 60 s, 54℃ 退火 60 s, 72℃ 延伸 60 s, 30 个循环后 72℃ 延伸 10 min。扩增产物在 1.8% 琼脂糖凝胶电泳中分离，凝胶成像系统拍照分析，计算特异扩增条带的总吸光度值，并以相应的 GAPDH 值进行校正。

**Western blot** LS 培养 30、60、180 min 和 NS 培养 180 min 后提取总蛋白检测 p38、pErk。NS、LS 培养 16 h 后提取细胞总蛋白检测 c-Fos、c-Jun，28 h 后提取细胞总蛋白检测 COX-2。收集细胞总蛋

白，加入含有蛋白酶抑制剂（ $100 \mu\text{g}/\text{ml}$  PMSF,  $10 \mu\text{g}/\text{ml}$  Aprotinin,  $10 \mu\text{g}/\text{ml}$  Leupeptin,  $2.0 \mu\text{g}/\text{ml}$  Pepsatin）的蛋白裂解液（ $0.01 \text{ mol/L}$  PBS,  $1\%$  NP-40,  $1 \text{ mmol/L}$  EDTA,  $0.5\%$  脱氧胆酸钠,  $0.1\%$  SDS) 裂解细胞。冰浴中超声破碎细胞,  $10 \text{ s}$  1 次, 共  $5\sim6$  次。冰浴  $30 \text{ min}$ ,  $12\,000 \text{ g}$   $4^\circ\text{C}$  离心  $15 \text{ min}$ , 收集上清。蛋白检测试剂盒定量。按测定的蛋白浓度, 取适量待测样品与上样缓冲液 ( $100 \text{ mmol/L}$  Tris-Cl pH 6.8,  $4\%$  SDS,  $20\%$  甘油,  $0.2\%$  溴酚兰,  $200 \text{ mmol/L}$  LDTT) 以  $1:1$  混合,  $100^\circ\text{C}$  加热  $5 \text{ min}$ 。取  $30\sim100 \mu\text{g}$  蛋白按常规方法进行 SDS-PAGE 电泳。COX-2 的分离胶浓度为  $8\%$ 。c-Fos、c-Jun 的分离胶浓度是  $10\%$ , p38、pErk 分离胶为  $12\%$ 。

**统计学处理** 所有数据用  $\bar{x} \pm s$  表示, 采用 SPSS11.5 软件进行单因素方差分析, 方差具有齐性时用 S-N-K 检验, 方差不齐用 Tamhane's T<sub>2</sub> 检验进行各组间比较。所有数据均重复 3 次,  $P < 0.05$  表示差异有显著性。

## 结 果

**质粒的鉴定** pAP1-Luc vector、pNF $\kappa$ B-Luc vector 是环形质粒, 全长均为  $5\,000 \text{ bp}$ , 经电泳后得到的条带在  $6\,557\sim9\,416 \text{ bp}$  间 (图 1)。

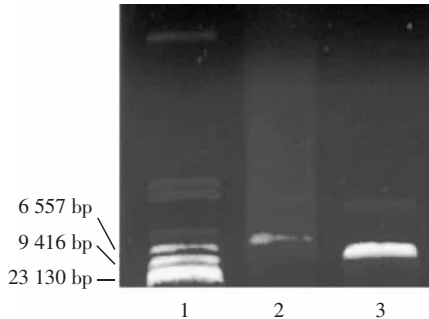


图 1 质粒 DNA 凝胶电泳图

**Fig 1** Electrophoresis of plamid in agarose gel

1. DNA 梯度; 2. AP-1 荧光质粒; 3. NF $\kappa$ B 质粒
1. DNA ladder; 2. pAP1-Luc vector; 3. pNF $\kappa$ B-Luc vector

**各组磷酸化 p38MAPK 和 p44/42 激酶的表达** LS 培养显著增加 MMDD1 细胞 p38MAPK 和 p44/42 的磷酸化程度 (图 2), LS 180 min 组磷酸化程度比较明显, 分别为 LS 0 min 组的  $1.65$  倍和  $6.4$  倍 ( $P < 0.01$ ), 各组总 p38 和 p44/42 无明显改变。

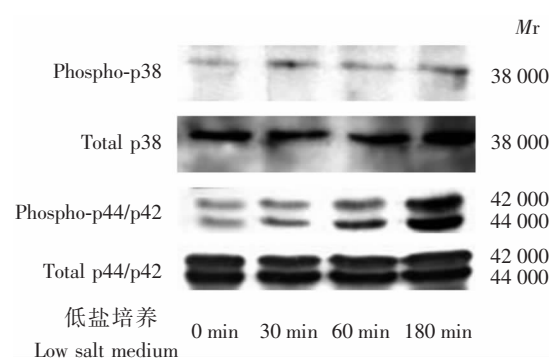


图 2 MMDD1 细胞磷酸化 p38、p44/p42 的表达

**Fig 2** Expressions of pp38 and pp44/p42 in MMDD1 cells

Mr: 相对分子质量

Mr: relative molecular mass

**各组 NF- $\kappa$ B 和 AP-1 转录活性的变化** LS 培养明显激活 MMDD1 细胞内 NF $\kappa$ B 和 AP-1 的转录活性, 分别上调了  $219.4\%$  和  $125.9\%$  ( $P < 0.01$ )。 $25 \mu\text{mol/L}$  NF $\kappa$ B 抑制剂 PDTC 将 LS 诱导的 NF $\kappa$ B 转录活性下调了  $66.3\%$ ,  $20 \mu\text{mol/L}$  AP-1 抑制剂 curcumin 将 LS 诱导的 AP-1 转录活性降低了  $49.3\%$ 。

**各组 MMDD1 细胞 c-Jun 和 c-Fos 蛋白表达** LS 培养促进 MMDD1 细胞 c-Jun、c-Fos 蛋白表达, 分别是 NS 组的  $1.27$  倍和  $1.24$  倍 ( $P < 0.01$ ) (图 3)。

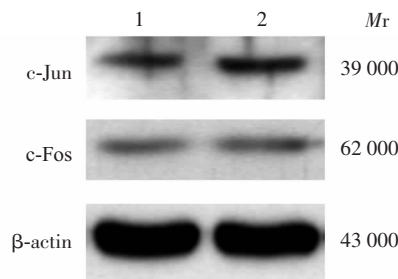


图 3 MMDD1 细胞 c-Jun、c-Fos 蛋白表达

**Fig 3** Expressions of c-Jun and c-Fos in MMDD1 cells

1. 正常盐培养; 2. 低盐培养

1. normal salt medium ; 2. low salt medium

**各组 MMDD1 细胞 COX-2mRNA 表达** LS 培养促进 COX-mRNA 表达, 较 NS 组升高了  $261.5\%$  ( $P < 0.01$ ),  $10 \mu\text{mol/L}$ 、 $20 \mu\text{mol/L}$  p38 抑制剂 SB-203580 和  $20 \mu\text{mol/L}$  p44/42 抑制剂 PD-98059 明显抑制了 LS 诱导的 MMDD1 细胞 COX-2 mRNA, 使其下调  $24.1\%$ 、 $37.9\%$  ( $P < 0.01$ ) (图 4)。

$25 \mu\text{mol/L}$  PDTC 和  $20 \mu\text{mol/L}$  curcumin 抑制 LS 诱导的 MMDD1 细胞 COX-2 mRNA 表达, 使其分别下降了  $52.0\%$  和  $48.1\%$  ( $P < 0.01$ ) (图 5)。

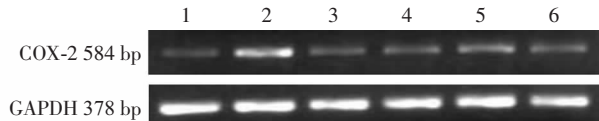


图 4 COX-2 mRNA 表达

Fig 4 Expression of COX-2 mRNA

1. 正常盐；2. 低盐；3. 低盐 + 10  $\mu\text{mol/L}$  SB - 203580；4. 低盐 + 20  $\mu\text{mol/L}$  SB - 203580；5. 低盐 + 10  $\mu\text{mol/L}$  PD - 98059；6. 低盐 + 20  $\mu\text{mol/L}$  PD - 98059
1. NS；2. LS；3. LS + 10  $\mu\text{mol/L}$  SB - 203580；4. LS + S 0  $\mu\text{mol/L}$  SB - 203580；5. LS + 10  $\mu\text{mol/L}$  PD - 98059；6. LS + 20  $\mu\text{mol/L}$  PD - 98059

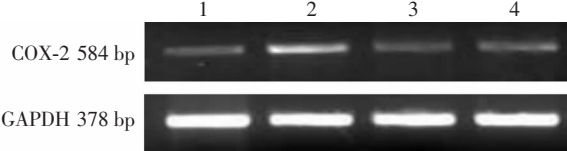


图 5 PDTC 和 curcumin 对 COX-2 mRNA 表达的影响

Fig 5 Effects of PDTC and curcumin on the expression of COX-2 mRNA

1. 正常盐；2. 低盐；3. 低盐 + 25  $\mu\text{mol/L}$  PDTC；4. 低盐 + 20  $\mu\text{mol/L}$  curcumin
1. NS；2. LS；3. LS + 25  $\mu\text{mol/L}$  PDTC；4. LS + 20  $\mu\text{mol/L}$  curcumin

**各组 MMDD1 细胞 COX-2 蛋白表达** LS 促进 COX-2 蛋白表达，较 NS 组升高了 136.0% ( $P < 0.01$ )。10 和 20  $\mu\text{mol/L}$  SB-203580 及 10 和 20  $\mu\text{mol/L}$  PD-98059 明显抑制 LS 诱导的 MMDD1 细胞 COX-2 蛋白表达，分别降低了 41.4%、67.3%、37.9% 和 48.3% ( $P < 0.01$ ) (图 6)。25  $\mu\text{mol/L}$  PDTC 和 20  $\mu\text{mol/L}$  curcumin 抑制低盐诱导的 COX-2 蛋白表达 ( $P < 0.01$ )，下降了 54.0% 和 46.0% (图 7)。

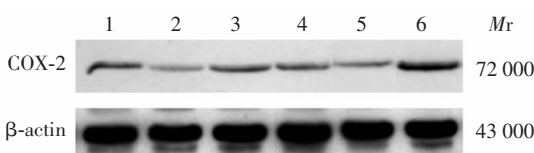


图 6 COX-2 蛋白表达

Fig 6 Expression of COX-2 protein

1. 低盐 + 10  $\mu\text{mol/L}$  SB-203580；2. 低盐 + 20  $\mu\text{mol/L}$  SB-203580；3. 低盐 + 10  $\mu\text{mol/L}$  PD-98059；4. 低盐 + 20  $\mu\text{mol/L}$  PD-98059；5. 正常盐；6. 低盐
1. LS + 10  $\mu\text{mol/L}$  SB-203580；2. LS + 20  $\mu\text{mol/L}$  SB-203580；3. LS + 10  $\mu\text{mol/L}$  PD-98059；4. LS + 20  $\mu\text{mol/L}$  PD-98059；5. NS；6. LS

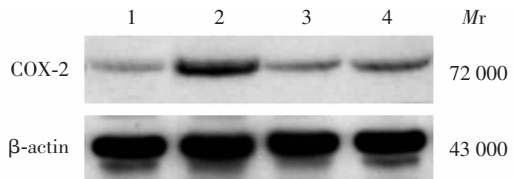


图 7 PDTC 和 curcumin 对 COX-2 蛋白表达的影响

Fig 7 Effects of PDTC and curcumin on the expression of COX-2 protein

1. 正常盐；2. 低盐；3. 低盐 + 25  $\mu\text{mol/L}$  PDTC；4. 低盐 + 20  $\mu\text{mol/L}$  curcumin
1. NS；2. LS；3. LS + 25  $\mu\text{mol/L}$  PDTC；4. LS + 20  $\mu\text{mol/L}$  curcumin

## 讨 论

MD 细胞毗邻于具有分泌肾素功能的球旁器细胞和球外系膜细胞，在肾脏调节水盐代谢过程中有重要作用。在各种高肾素动物模型中，MD 细胞 COX-2 表达增加，目前有关 MD 细胞内 COX-2 的表达调控机制还不是很清楚。

COX-2 基因表达受多个程序调控。Cheng 等<sup>[4]</sup> 在 LS 饮食的动物肾脏皮质 MD 和 cTALH 细胞处检测到高表达的磷酸化 p38，这提示 LS 诱导的 COX-2 表达及 PGE<sub>2</sub> 释放可能由 p38MAPK 途径调控。本研究进一步证实，LS 培养可诱导 MMDD1 细胞内 p38MAPK 和 p44/42 快速磷酸化，并于 180 min 时达到高峰，磷酸化时间明显早于 COX-2 mRNA 和蛋白的高峰时间<sup>[5]</sup>，p38MAPK 和 p44/42 通路选择性阻断剂 SB-203580 和 PD-98059 能显著下调 LS 诱导的 COX-2 mRNA 和蛋白表达及 PGE<sub>2</sub> 的释放，提示 LS 诱导的 COX-2 表达增加可能是通过激活 p38MAPK 和 p44/42 激酶的活性实现的。除转录水平外，Cheng 等<sup>[4]</sup> 研究还发现 LS 培养可促进兔 cTALH 细胞 COX-2 表达，加用 MAPK 阻断剂后 COX-2 mRNA 的半衰期显著降低，表明 MAPK 对于在转录后水平确保 COX-2 mRNA 的稳定性也是至关重要的。

有关髓质间质细胞的研究显示，高渗条件下有更多的 p65 和 p50 结合于人 COX-2 启动子的 NF- $\kappa$ B 位点上。经 NF- $\kappa$ B 的显性基因负性抑制剂 (I $\kappa$ Bmut) 转导后，由高渗诱导的 COX-2 mRNA 和蛋白表达受到明显抑制，提示脱水通过活化 NF- $\kappa$ B 途径，诱导髓质间质细胞表达 COX-2<sup>[3]</sup>。本研究发现 MMDD1 细胞瞬时转染 NF- $\kappa$ B 荧光质粒后，LS 培养可明显上调 NF- $\kappa$ B 的转录活性，加用 NF- $\kappa$ B 活性抑制剂 PDTC

后 COX-2 mRNA 和蛋白表达都降低，进一步证实 LS 可能通过上调 NF-κB 转录活性，增加 COX-2 表达。

AP-1 是炎症、肿瘤情况下，调节 COX-2 表达的重要转录因子，研究发现非甾体类抗炎药可抑制 p38MAPK 的磷酸化，抑制 c-Fos 和 c-Jun 二聚体复合物与 AP-1 DNA 位点的结合，下调 AP-1 的活性，从而降低 COX-2 表达<sup>[6]</sup>。本研究发现瞬时转染 AP-1 质粒后，LS 培养促使细胞内 c-Jun 和 c-Fos 蛋白表达，增加 AP-1 的转录活性。Curcumin 抑制 c-Fos 和 c-Jun 二聚体复合物的形成，从而抑制 LS 诱导的 AP-1 转录活性，降低 LS 诱导增加的 COX-2 表达。这说明 LS 培养很可能通过某些途径激活 c-Jun 和 c-Fos 蛋白，促使二聚体结合到 COX-2 基因 AP-1 位点上，促进 COX-2 基因转录。Woo 等<sup>[7]</sup>却发现巨噬细胞内 p38MAPK 对 COX-2 表达有正向调节作用，而 c-Jun (JNK 通路) 对其有负向调节作用。

综上所述，LS 可诱导 MMDD1 细胞 COX-2 表达增加，其作用机制可能是多途径的。本研究结果初步表明，MMDD1 细胞内 COX-2 的表达与 p38MAPK、p44/p42 激酶的磷酸化，AP-1 和 NF-κB 转录活性的增加密切相关。

## 参 考 文 献

- [1] Castrop H, Klar J, Wagner C. General inhibition of renocortical cyclooxygenase-2 expression by the renin-angiotensin system [J]. Am J Physiol Renal Physiol, 2003, 284(4): F518-F524.
- [2] Yang T, Huang Y, Heasley LE, et al. MAPK mediation of hypertonicity-stimulated cyclooxygenase -2 expression in renal medullary collecting duct cells [J]. J Biol Chem, 2000, 275(48):23281-23286.
- [3] Hao CM, Yull F, Blackwell T, et al. Dehydration activates an NF-κB-driven, COX-2-dependent survival mechanism in renal medullary interstitial cells [J]. J Clin Invest, 2000, 106(8):973-982.
- [4] Cheng HF, Harris RC. Cyclooxygenase-2 expression in cultured cortical thick ascending limb of henle in response to decreased extracellular ionic content by both transcriptional and post-transcriptional mechanisms [J]. J Bio Chem, 2002, 277(47):45638-45643.
- [5] 刘冬妍, 李学旺, 李航, 等. 低盐诱导的 MMDD1 细胞 COX-2 表达与 p38 丝裂素激活蛋白激酶信号通路 [J]. 中华肾脏病杂志, 2006, 22(11):697-701.
- [6] Chunl KS, Kim SH, Song YS, et al. Celecoxib inhibits phorbol ester-induced expression of COX-2 and activation of AP-1 and p38 MAP kinase in mouse skin [J]. Carcinogenesis, 2004, 25(5):713-722.
- [7] Woo KJ, Park JW, Kwon TK. Proteasome inhibitor-induced cyclooxygenase-2 expression in Raw264.7 cells is potentiated by inhibition of c-Jun N-terminal kinase activation [J]. Biochem Biophys Res Commun, 2006, 342(4):1334-1340.

(2006-11-16 收稿)